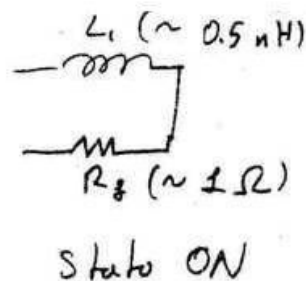
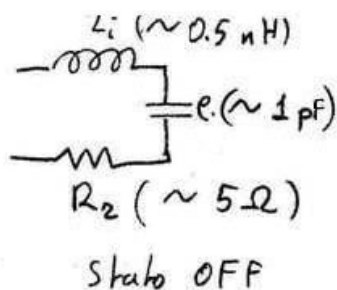


## COMMUTATORI A DIODI PIN

I diodi PIN (con una zona intrinseca centrale) costituiscono degli interruttori RF con tempi di risposta di alcuni nsec, pilotati elettronicamente.

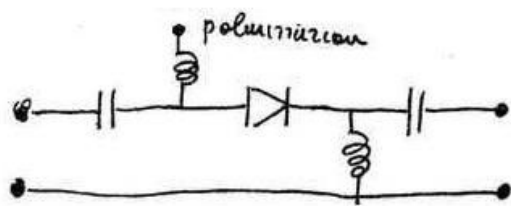
Se il diodo è sottoposto (tramite bobine e condensatori di isolamento) a una tensione continua inversa, esso presenta alla RF una impedenza elevata, dovuta essenzialmente alla capacità di giunzione. In polarizzazione diretta, invece, la capacità di giunzione scompare e rimane una impedenza molto bassa.

I circuiti equivalenti sono riportati in figura:



Un singolo diodo può essere usato come interruttore in serie o in parallelo

Nella figura seguente è mostrato il circuito di polarizzazione per un interruttore in serie



Nel circuito a lato i condensatori servono a bloccare la continua e le induttanze a condurre (boccano il segnale)

Se  $V_0$  è la tensione (in uscita) senza interruttore e  $V_L$  quella con l'interruttore si definisce perdita di inserzione (in dB)

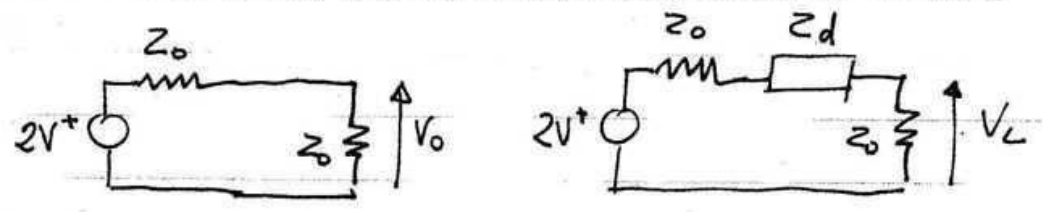
$$IL = -20 \log_{10} \left| \frac{V_L}{V_0} \right|$$

Nello stato ON, la perdita di inserzione misura la potenza persa dall'interruttore; nello stato OFF misura di quanto la potenza in uscita scende rispetto alla assenza dell'interruttore.

Poichè i parametri  $R_g, L_i$  possono essere considerati parametri parassiti, conviene tenerne conto solo in fase di analisi, mentre per il dimensionamento conviene usare per il diodo l'impedenza

$$Z_d = \begin{cases} R_g & \text{stato ON} \\ \frac{1}{i\omega C_T} & \text{stato OFF} \end{cases}$$

Analizziamo allora un interruttore con diodo in serie.



Si ha  $V_0 = 2V^+ \frac{Z_0}{2Z_0} = V^+$

$V_L = 2V^+ \frac{Z_0}{2Z_0 + Z_d}$       per cui       $\frac{V_L}{V_0} = \frac{2Z_0}{2Z_0 + Z_d}$

Nello stato ON del diodo l'interruttore è chiuso. Ora  $R_g \ll Z_0$

per cui  $IL_{on} = -20 \log_{10} \left| \frac{2Z_0}{2Z_0 + R_g} \right| = -20 \log_{10} \frac{1}{1 + \frac{R_g}{2Z_0}} =$

$$= 20 \log_{10} \left( 1 + \frac{R_s}{2Z_0} \right) \approx 20 \cdot \frac{1}{\log_{10}} \frac{R_s}{2Z_0} = 4.34 \frac{R_s}{Z_0}$$

Nello stato OFF si ha  $Z_d = \frac{1}{j\omega C_T}$  e quindi

$$IL_{OFF} = -20 \log_{10} \left| \frac{2Z_0}{2Z_0 + \frac{1}{j\omega C_T}} \right| = -20 \log_{10} \left| \frac{2j\omega C_T Z_0}{1 + j\omega C_T Z_0} \right| =$$

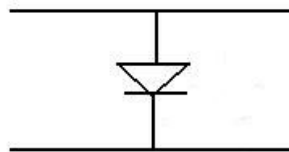
$$= -10 \log_{10} \frac{(\omega C_T Z_0)^2 \cdot 4}{1 + (\omega C_T Z_0)^2 \cdot 4}$$

Se  $4(\omega C_T Z_0)^2 \ll 1$  (ovvero  $\frac{|Z_d|^2}{4} \gg Z_0^2$ ) allora

$$IL_{OFF} = -20 \log_{10} 2\omega C_T Z_0$$

La perdita di inserzione (ovvero l'efficacia del diodo) diminuisce al crescere della frequenza.

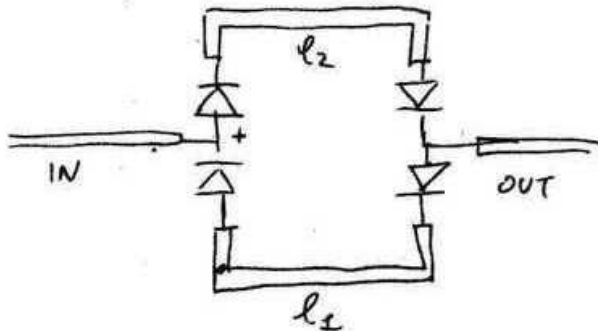
In alcuni casi può essere utile anche valutare la potenza riflessa dall'interruttore (per un diodo in parallelo vi è dissipazione nel diodo quando l'interruttore è aperto, è quindi la potenza non riflessa non è ben misurata dall'IL)



## SFASATORI A DIODI PIN

Poichè i diodi PIN possono essere usati come interruttori, si prestano ad essere utilizzati per la realizzazione di sfasatori a controllo elettronico

Lo schema più semplice prevede l'uso di due linee (di lunghezza diversa) da usare alternativamente

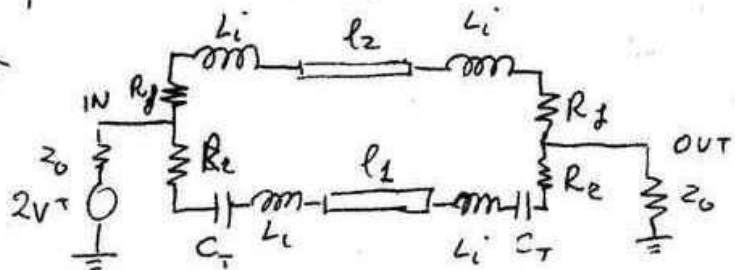


Se i diodi fossero ideali il segnale di uscita avrebbe fase  $\beta l_2$  o  $\beta l_1$  a seconda del cammino percorso.

Si ha quindi uno sfasatore di  $\beta |l_2 - l_1|$ .

In realtà, i diodi non sono ideali ed è quindi presente una perdita di inserzione (dovuta anche alle perdite sulle linee).

Lo schema equivalente reale è quello in figura



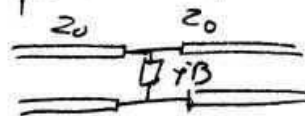
In prima approssimazione possiamo assumere  $\frac{1}{i\omega C_T}$  infinito e ottenere quindi una perdita di inserzione pari a  $\left| \frac{2Z_0}{2Z_0 + 2(R_S + i\omega L)} \right|$

Questa soluzione, detta a linea commutata, ha una bassissima distorsione (se la linea è non dispersiva si ha effettivamente solo un ritardo tra ingresso e uscita) e ha basse perdite di inserzione.

Una soluzione diversa, utile per piccoli ritardi di fase e meno ingombrante della precedente è quella detta a linea caricata.

Se consideriamo una linea con una reattanza  $iB$  in parallelo, vediamo che

$$\Gamma = \frac{-i b}{2 + i b}, \quad T = \frac{2}{2 + i b} \quad b = B Z_0$$

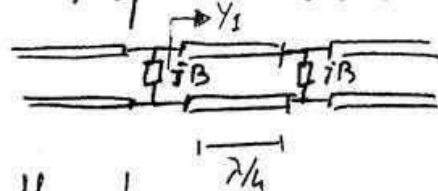


quindi l'onda trasmessa ha uno spostamento di fase  $\Delta\phi$  tale che  $\tan \Delta\phi = \frac{b}{2}$ . Comutando con un diodo PIN tra  $iB$  e un carico molto elevato si ha quindi uno sfasatore, con uno sfasamento dipendente da  $b$ .

Il problema sono le perdite di inserzione. Si ha infatti

$$IL = \frac{1}{T^2} = 1 + \frac{b^2}{4} \quad \text{che crescono con } b \text{ e quindi con lo sfasamento richiesto.}$$

Per ridurre tale effetto si usano due reattanze uguali, separate da una linea lunga  $\lambda/4$ .



Il caso a valle della prima reattanza è

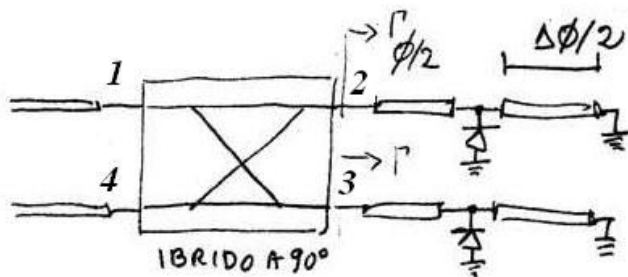
$$Y_1 = \frac{(1/Z_0)^2}{1/Z_0 + iB} = \frac{1}{Z_0(1 + i b)} \quad \text{e quindi il coefficiente}$$

$$\text{di riflessione vale} \quad \Gamma = \frac{1 - [i b + \frac{1}{1 + i b}]}{1 + [i b + \frac{1}{1 + i b}]} = \frac{1 + b^2 - 1}{(1 + i b)^2 + 1} = \frac{b^2}{2 - b^2 + 2 i b}$$

che è inferiore a quello con una sola reattanza, in quanto le riflessioni delle due reattanze sono sfasate di  $180^\circ$ .

Infatti la perdita di inserzione del circuito a una reattanza è di 1.2 dB per uno sfasamento di  $30^\circ$ , mentre con due reattanze è al più di 0.5 dB (usando un diodo ideale). D'altra parte la presenza di una linea a  $\lambda/4$  rende quest'ultima soluzione più sensibile alla frequenza, mentre la soluzione con reattanza singola ha  $\Delta\phi$  sostanzialmente proporzionale alla frequenza.

Un altro schema è lo sfasatore a riflessione, che utilizza un diodo PIN per variare la lunghezza del cammino del segnale riflesso. Per separare ingresso e uscita si usa poi un ibrido a  $90^\circ$



Se assumiamo i diodi ideali i coefficienti di riflessione visti alle due porte dell'ibrido sono

$$\Gamma_{ON} = e^{i\phi} \quad \Gamma_{OFF} = e^{i(\phi + \Delta\phi)}$$

(ON e OFF sono gli stati dei due diodi). Poiché  $\Gamma = \frac{V_3^+}{V_3^-} = \frac{V_2^+}{V_2^-}$  (con le convenzioni della matrice  $\underline{S}$ ) si ha (a meno del fattore  $-\frac{1}{\sqrt{2}}$ )

$$\begin{aligned} V_1^- &= i V_2^+ + V_3^+ = i \Gamma V_2^- + \Gamma V_3^- \\ V_2^- &= i V_1^+ \\ V_3^- &= V_1^+ \\ V_4^- &= V_2^+ + \Gamma V_3^+ = \Gamma V_2^- + i \Gamma V_3^- \end{aligned}$$

essendo  $V_4^+ = 0$ . Sottotraslando si ha

$$\begin{aligned} V_1^- &= -\Gamma V_1^+ + \Gamma V_1^+ = 0 \\ V_4^- &= i \Gamma V_1^+ + \Gamma V_1^+ = 2i \Gamma V_1^+ \end{aligned}$$

La differenza di fase tra i due stadi è quella relativa a  $\Gamma$  ovvero  $\Delta\phi$ , mentre  $\phi$  è un parametro libero. In genere si sceglie  $\phi$  in modo che

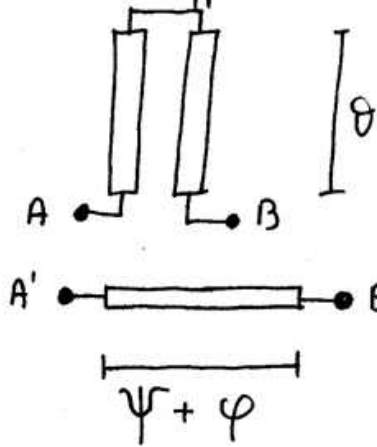
$$\Gamma_{ON} = \Gamma_{OFF}^* \Rightarrow 2\phi = \Delta\phi + 2m\pi$$

poiché tale soluzione consente di incrementare la banda utile

Le perdite di inserzione sono dovute alle perdite dell'ibrido e alle resistenze del diodo non ideali

## SFASATORE DI SCHIFFMAN

È uno sfasatore differenziale, ovvero fornisce una variazione di fase rispetto a un segnale di riferimento, costituito da una sezione di linee accoppiate e da una linea di riferimento.



I punti A, A' sono gli ingressi e B, B' le uscite, e il segnale in B' deve essere sfasato di  $\varphi_0$  rispetto a quello in B a centro banda.

$$S_B = 1 \quad S_{B'} = e^{-i\varphi_0}$$

$$(\varphi = \varphi_0 \text{ a centro banda})$$

Esaminiamo dapprima la sezione di linee accoppiate (c-section) e calcoliamone la matrice  $\underline{Y}$ .

Applicando una tensione <sup>unitaria</sup>  $V$  uguale ad A e B (modo pari) la corrente nella connessione è nulla e si ha

$$I_{Ap} = I_{Bp} = i Y_e \tan \theta$$

Viceversa nel modo dispari la linea è in corto circuito e quindi

$$I_{Ad} = -I_{Bd} = -i Y_o \cot \theta$$

essendo  $Y_e, Y_o$  le ammettenze caratteristiche normalizzate pari e dispari. Sommando si ottiene la matrice  $\underline{Y}$  (si ricordi che va sommata anche la tensione)

$$Y_{AA} = Y_{BB} = \frac{1}{2} (i Y_e \tan \theta - i Y_o \cot \theta)$$

$$Y_{AB} = Y_{BA} = \frac{1}{2} (i Y_e \tan \theta + i Y_o \cot \theta)$$

$$(V_0 = -I_0)$$

Se la porta di uscita B è adattata  $V$  la ammettenza di ingresso vale

$$Y_{IN} = Y_{AA} - \frac{Y_{AB}^2}{1 + Y_{AA}} = \frac{Y_{AA}(1 + Y_{AA}) - Y_{AB}^2}{1 + Y_{AA}}$$

Se imponiamo  $Y_{IN} = 1$  otteniamo

$$Y_{AA}(1 + Y_{AA}) - Y_{AB}^2 = 1 + Y_{AA}$$

$$(Y_{AA} - Y_{AB})(Y_{AA} + Y_{AB}) = 1$$

$$(-i Y_0 \cot \theta)(i Y_e \tan \theta) = 1 \quad \Rightarrow \quad Y_e Y_0 = 1$$

Se alimentiamo ora la porta A con una onda di tensione  $V^+$  si ha  $V_A = V^+$  e  $V_B = -I_B$  (adattamento alla porta B) per cui dalla matrice  $Y$

$$-V_B = Y_{AB} V^+ + Y_{AA} V_B \quad V_B = V_B^- = -\frac{Y_{AB} V^+}{1 + Y_{AA}}$$

Posto  $X = i Y_e \tan \theta$  si ha allora

$$S_{21} = -\frac{\frac{1}{2}(X - \frac{1}{X})}{1 + \frac{1}{2}(X + \frac{1}{X})} = -\frac{X^2 - 1}{2X + X^2 + 1} = \frac{1 - X}{1 + X} = \frac{1 - i Y_e \tan \theta}{1 + i Y_e \tan \theta}$$

per cui  $|S_{21}| = 1$  (la linea diventa un "all pass" mentre

$$\angle S_{21} = -2 \arctan(Y_e \tan \theta)$$

Se scegliamo  $\theta$  pari a  $\frac{\pi}{2}$  alla frequenza centrale  $\omega_0$  allora  $\angle S_{21} \Big|_{\omega=\omega_0} = -\pi$

D'altra parte sulla linea si ha

$$S_{21} = e^{-i(\Psi + \varphi)}$$

e quindi  $\Psi \Big|_{\omega=\omega_0} = \pi$



Lo sfasamento  $\Delta\phi$  vale allora

$$\Delta\phi = -(\Psi + \varphi) - \underline{L S_{21}} = -\pi \frac{\omega}{\omega_0} - \varphi_0 \frac{\omega}{\omega_0} + 2 \operatorname{arctg} \left[ Y_e \operatorname{tg} \left( \frac{\pi \omega}{2 \omega_0} \right) \right]$$

in quanto le lunghezze elettriche sono proporzionali alla frequenza.

Per determinare  $Y_e$  dobbiamo scegliere l'accoppiamento in frequenza di  $\Delta\phi$ .  
Se richiediamo che la derivata di  $\Delta\phi$  si annulli a  $\omega_0$  otteniamo

$$-\pi - \varphi_0 + 2 \frac{1}{1 + Y_e^2 \operatorname{tg}^2 \frac{\pi \omega}{2 \omega_0}} \cdot Y_e \cdot \left[ 1 + \operatorname{tg}^2 \left( \frac{\omega \pi}{2 \omega_0} \right) \right] \frac{\pi}{2} = 0$$

e passando al limite per  $\omega \rightarrow \omega_0$

$$-\pi - \varphi_0 + \pi Y_e \frac{1}{Y_e^2} = 0$$

ovvero 
$$Z_e = 1 + \frac{\varphi_0}{\pi}$$

Per valori diversi da quest'ultimo l'accoppiamento di  $\Delta\phi$  sarà diverso.  
Per allargare la banda può essere utile avere, intorno a  $\varphi_0$ , delle oscillazioni.

Determiniamo allora i massimi di  $\Delta\phi$ . Dalla derivata si ottiene

$$\operatorname{tg}^2 \frac{\pi \omega}{2 \omega_0} = \frac{\frac{\pi + \varphi_0}{\pi Y_e} - 1}{1 - \frac{\pi + \varphi_0}{\pi} Y_e}$$

e quindi vi sono massimi se il numeratore è non negativo.  
Essendo  $Y_e < 1$  il numeratore è sempre positivo e segue

$$Y_e < \left( \frac{\pi + \varphi_0}{\pi} \right)^{-1}$$

ovvero per impedenza pari maggiore di  $1 + \frac{\varphi_0}{\pi}$ . Ne segue che bande elevate sono possibili solo se  $Z_e$  è grande, ovvero linee strettamente accoppiate.